

# 弾・粘塑性有限要素解析の入力パラメーター決定における 一軸圧縮強度の利用

UTILIZATION OF UNCONFINED COMPRESSIVE STRENGTH IN DETERMINING  
INPUT PARAMETERS OF ELASTO-VISCOPLASTIC FINITE ELEMENT ANALYSIS

太田秀樹\*・鍋谷雅司\*\*・藤井信二\*\*・山本松生\*\*

By Hideki OHTA, Masashi NABETANI, Shinji FUJII and Matsuo YAMAMOTO

This paper investigates procedures to determine soil parameters used in elasto-viscoplastic analysis based on the standard laboratory tests.

Some parameters of elasto-viscoplastic constitutive model are found to be related to unconfined compressive strength and oedometer test results.

Using the parameters obtained by interpreting these test results, finite element computations are carried out analysing trial embankments on soft ground. Applicability of the procedure to engineering practice is verified by comparing the computed results with measured field performance of soft foundations.

**Keywords:** unconfined compressive strength, elasto-viscoplastic analysis, input soil parameters

## 1. はじめに

弾・粘塑性構成式を用いて、軟弱地盤の応力-変形-圧密に関する連成問題を有限要素法により解析する場合、多数の入力パラメーターが必要となる。本来、これらのパラメーターは、精密な力学試験により決定されるべきであるが、現実問題として、そのような土質試験が実施される例は多くない。そこで比較的入手しやすいデータの1つである塑性指數を中心とした簡易的なパラメーターの決定方法が Iizuka and Ohta<sup>1)</sup>により提案されている。しかし、塑性指數から土質の力学定数を推定するのは、血液型から個々人の性格を判断しようとするようなもので、全く資料がない場合にやむなく使われるべき推定法である。日本で行われる土質調査では、通常、液塑性限界試験だけではなく、一軸圧縮試験、標準圧密試験もあわせて実施されることが少なくない。一軸圧縮強度  $q_u$  は、Kimura and Saitoh<sup>2)</sup>によれば、応力解放を伴うため、残留間隙水圧の挙動が複雑であることから、力学的な解釈が難しい。また、サンプリングや供試体の整

形および載荷の際に生じる種々の誤差要因が昔から指摘されており、それらの影響が無視できない程度に大きいことがわかっている（たとえば西垣・三笠<sup>3)</sup>）。一方、 $q_u$  は、粘性土地盤の円弧すべりを考えるような慣用の安定解析には数多くの実績があり、その信頼性は経験的に確かめられている。事実、数多くの盛土の破壊例と  $q_u$  とを比較すると、 $PI \geq 25\%$  の粘土については、 $q_u$  から計算された安全率が1に近い値になる例が多いことが太田<sup>4)</sup>により示されている。

このように、 $q_u$  は数々の問題点を内蔵しながらも、その誤差は全くランダムなわけではなく、土の種類によってある一定の規則性をもっているため、結果としてそれなりに土の力学的性質をうまく表わしている指標であるといえよう。そこでこの  $q_u$  を弾・粘塑性構成式による FEM 解析のパラメーター推定に利用できれば、満足すべき精度の解析結果が得られるのではないかと期待される。

本論文では、Sekiguchi and Ohta<sup>5)</sup>による弾塑性構成式から得られる非排水せん断強度と、従来から知られている  $q_u$  の傾向的特徴を利用して、弾・粘塑性構成式のパラメーターを推定する方法を示す。次に、腐植土と沖積粘土層からなる軟弱地盤上の盛土工を対象とした挙動解析を行い、この  $q_u$  を利用したパラメーター推定方法

\* 正会員 工博 金沢大学教授 工学部土木建設工学科  
(〒920 金沢市小立野2-40-20)

\*\* 正会員 佐藤工業(株) 中央技術研究所  
(〒243-02 厚木市三田47-3)

の適用性について述べる。なお、解析に用いたプログラム DACSAR<sup>1),6)</sup>は、Biot<sup>7)</sup>の多次元圧密理論に Sekiguchi and Ohta<sup>5)</sup>、Ohta and Sekiguchi<sup>8)</sup>による弾・粘塑性構成式を取り入れ、赤井・田村<sup>9)</sup>による定式化をもとに作成されたものである。なお、用いた構成式は、正規圧密状態および過圧密状態にある粘土に対して適用可能である。

## 2. 非排水せん断強度に関する理論式

### (1) 軸対称 $K_0$ 圧密条件下の非排水せん断強度

関口・太田による弾塑性構成式における降伏関数  $f$  は式(1)で定義される。

$$f = \frac{\lambda - \kappa}{1 + e_0} \ln \frac{p'}{p'_0} + D\eta^* \dots \dots \dots \quad (1)$$

$$\eta^* = \sqrt{\frac{3}{2} \left( \frac{s_{ij}}{p'} - \frac{s_{ij0}}{p'_0} \right) \left( \frac{s_{ij}}{p'} - \frac{s_{ij0}}{p'_0} \right)}$$

ここで、 $D$  は柴田<sup>10)</sup>によるダイレイタンシーに関する定数、 $e$ 、 $p'$ 、 $s_{ij}$  は、それぞれ間隙比、平均有効主応力、偏差応力テンソルであり、添字 0 は  $K_0$  圧密終了時の値であることを示す。 $\lambda$ 、 $x$  は、それぞれ圧縮、膨潤における  $e \sim \ln p'$  関係の勾配である。なお、 $\eta^*$  は一言でいえば、せん断応力の増加に伴って大きくなるスカラーラー量である。式(1)を用いて非排水せん断破壊時における条件式が次のように表わされる。

a) 非排水条件 (体積ひずみが0)

$$\frac{\lambda}{D(1+e_0)} \ln \frac{p'}{p_0} + \eta^* = 0 \dots \dots \dots \quad (2)$$

b) 破壊条件 (せん断ひずみが無限大)

$$\frac{\lambda - \kappa}{D(1+e_0)} - \frac{3}{2\eta^*} \left( \frac{s_{ij}}{p'} - \frac{s_{ij0}}{p'_0} \right) \frac{s_{ij}}{p'} = 0 \dots \dots \dots (3)$$

等方圧密された粘土 ( $s_{ij0}=0$ ) に対しては、次式となる。

$$\frac{\lambda - \kappa}{D(1+e_0)} - \frac{1}{p'} \sqrt{\frac{3}{2} s_{ij} s_{ij}} = 0 \dots \dots \dots \quad (4)$$

Ohta and Nishihara<sup>11)</sup>は式(2), (3)から各種応力状態における非排水強度式を導いており、軸対称  $K_0$  正規圧密非排水圧縮試験（以後、 $CK_0UC$  試験とよぶ）の非排水せん断強度  $S_u$  は次式のように示される。ここで、 $\sigma'_{\text{eq}}$  は有効上載圧である。

$$\left(\frac{S_u}{\sigma'_{v0}}\right)_{CK_{UUC}} = \frac{1+2K_0}{3} \frac{M}{2} \exp\left(-A + \frac{A}{M} \eta_0\right) \dots\dots (5)$$

ここで、

$$M = \frac{\lambda - \kappa}{D(1 + e_0)} \quad A = \frac{\lambda - \kappa}{\lambda} = 1 - \frac{\kappa}{\lambda}$$

$$\eta_0 = \frac{3(1-K_0)}{1+2K_0}$$

なお、 $M$  は Cam-Clay 系の構成式において破壊基準を表わすパラメーターであり、 $p' \sim q$  平面上の破壊線の勾配

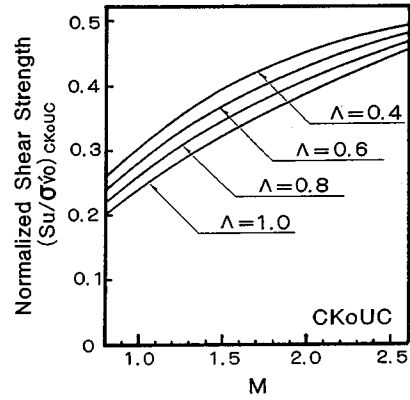


図-1 非排水強度とせん断抵抗角の関係

配として定義される。式(5)に、以下の式(6),(7)を代入して整理すると式(8)が得られる。

$$K_s \equiv 1 - \sin \phi' \quad (\text{Jáky})^{12) \dots \dots (6)}$$

式(8)は、軽部<sup>13)</sup>により、すでに導かれている。

式(8)において、 $A$ に0.4, 0.6, 0.8, 1.0を与えたときの $(S_u/\sigma'_{vv})_{CK_0UC}$ と $M$ の関係を図-1に示す。図-1は、 $CK_0UC$ 試験における非排水強度と $M$ の関係を表わしており、この図により、 $(S_u/\sigma'_{vv})_{CK_0UC}$ と $A$ が与えられれば、 $M$ が推定できることになる。

## (2) 一軸圧縮強度と $CK_0UC$ 試験における非排水せん断強度の関係

中瀬・勝野・小林<sup>14)</sup>は、砂分を多く含む粘土の一軸圧縮強度  $q_u$  について、補正法を提案している。また、正垣・松尾・野村・小林<sup>15)</sup>は塑性指数  $PI \leq 15\%$  の粘土では三軸圧縮試験と一軸圧縮試験のせん断強度の差が大きくなる旨を述べている。龍岡<sup>16)</sup>は、東京湾粘土を例に、原位置せん断強度  $S_u$  と、一軸圧縮強度による  $q_u/2$  との差に影響を及ぼす諸要因について考察しており、 $PI$  が小さく深度の大きな粘土ほど乱れによる影響が無視できないと述べている。これ以外にも、多くの問題点が指摘されているが、一軸圧縮強度から求められるせん断強度と  $CK_0UC$  試験におけるせん断強度（以後これらをそれぞれ添字  $UC$ ,  $CK_0UC'$  で区別して表わす）の概略的な関係を調べるために、塑性指数をパラメーターとして両者の比較を行う。これには、過去に発表されている  $CK_0UC$  試験の実験結果と一軸圧縮試験によるせん断強度を比べればよい。しかし、本論文の目的は両者の実験結果の比較そのものにあるのではなく、一軸圧縮試験の結果を用いて関口・太田により提案された構成式のためのパラメーターを求めることがあるのであるから、ここ

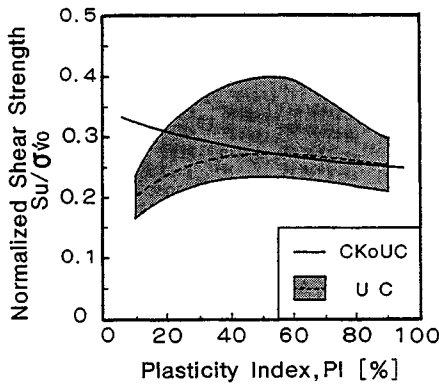


図-2 一軸圧縮試験と CK₀UC 試験の非排水強度

では構成式から推定される CK₀UC 試験の非排水せん断強度と一軸圧縮試験結果とを比較する。

図-2 は、数多くの一軸圧縮試験結果から求められた  $(S_u / \sigma'_{vv})_{CK_0UC}$  の理論式は式(5)で与えられており、式(5)に、式(7)と、以下の式(9)、(10)、(11)を代入して得られる非排水強度を PI に対して求める

$$K_0 = 0.44 + 0.42 PI / 100 \quad (\text{Massarsch})^{17} \dots \dots \dots (9)$$

$$\sin \phi' = 0.81 - 0.233 \log PI \quad (\text{Kenney})^{18} \dots \dots \dots (10)$$

$$\Lambda = M / 1.75 \quad (\text{軽部})^{19} \dots \dots \dots (11)$$

仮に、これらの経験式が正しいとすると、図-2 中の実線は CK₀UC 試験における理論強度と PI の関係を表わしていることになる。これによれば、PI の低下に伴い、CK₀UC 試験における非排水強度は増加する傾向を示すが、 $q_u$  から求めた非排水強度は減少する傾向がみられる。そこで、式(12)に示す補正係数  $\mu$  を考えると、 $\mu$  は PI に対して図-3 のような値をとる。

$$\mu = \frac{(S_u / \sigma'_{vv})_{CK_0UC}}{(S_u / \sigma'_{vv})_{UC}} \dots \dots \dots (12)$$

図-3 によれば、 $PI \geq 40\%$  の粘土では、 $(S_u / \sigma'_{vv})_{UC}$  を  $(S_u / \sigma'_{vv})_{CK_0UC}$  として用いてもよいが、 $PI \leq 40\%$  の粘土では、補正係数  $\mu$  を乗じる必要があることになる。

正垣・松尾・野村・小林<sup>15</sup>は、 $q_u$  から求めたせん断強度と三軸 UU 試験におけるせん断強度の関係を求め

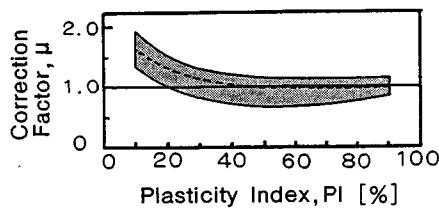


図-3 試験条件の違いによる非排水強度の補正係数

ている。それによると、 $PI \geq 15\%$  の粘土では両者に差はないが、 $PI \leq 15\%$  では  $q_u$  から求まるせん断強度の低下が著しくなると報告している。この報告は条件が異なるので、図-3 と直接比較してよいわけではないが、同様の傾向が示されている。

### (3) 過圧密粘土の非排水せん断強度

これまで、正規圧密粘土に関する非排水強度について述べてきたが、実際の地盤に適用するには、過圧密粘土の非排水強度特性との関係を明らかにする必要性がある。Ohta and Nishihara<sup>11</sup>は、異方過圧密粘土 (OCA) と異方正規圧密粘土 (NCA) の非排水強度の関係が式(13)で与えられることを導いている。

$$\left( \frac{S_u}{\sigma'_{vv}} \right)_{OCA} = \bar{n}^{\bar{\lambda}} \left( \frac{S_u}{\sigma'_{vv}} \right)_{NCA} \dots \dots \dots (13)$$

ここで、 $\bar{n}$ 、 $\bar{\lambda}$  は平均有効主応力ではなく、有効上載圧  $\sigma'_{vv}$  を整理した過圧密比 ( $\bar{n} = \sigma'_{vv} / \sigma'_{vv0}$ )、非可逆比 ( $\bar{\lambda} = 1 - \bar{n}/\lambda$ ) である。 $\bar{n}$  は平均有効主応力  $p'$  を整理した場合と比べて若干の相違がある。式(13)は Mitachi and Kitago<sup>19</sup>がすでに述べており、中瀬・小林・勝野<sup>20</sup>によって与えられた関係式の特殊な場合に該当する。この式(13)を先行圧密応力  $\sigma'_{vv0}$  で整理し、過圧密粘土 (OCA) が過去に正規圧密粘土 (NCA) であったときにもっていたと考えられる非排水強度を表わす式に書き直すと、式(14)となる。

$$\left( \frac{S_u}{\sigma'_{vv}} \right)_{NCA} = \frac{1}{\bar{n}^{\bar{\lambda}-1}} \left( \frac{S_u}{\sigma'_{vv}} \right)_{OCA} \dots \dots \dots (14)$$

式(14)により、過圧密地盤の非排水強度を、過去において正規圧密状態であったときの非排水強度に換算することができる。これまでに紹介した予備的な考察に基づいて、次節に弾塑性パラメーター推定における一軸圧縮強度の利用について議論を進める。

### 3. 一軸圧縮強度を利用したパラメーター推定手順

2. では、構成式から導かれた CK₀UC 試験における非排水強度と  $\Lambda$ 、 $M$  の関係、一軸圧縮試験と CK₀UC 試験という試験方法の違いによる非排水強度の違い、過圧密粘土と正規圧密粘土の非排水強度の関係について述べた。これらにより、一軸圧縮強度  $q_u$  を利用して破壊に関するパラメーター  $M$  を推定する手順を示したのが図-4 である。以下に、図-4 について説明する。

$M$  を推定するために必要な土質定数は、 $q_u$  のほかに、地盤の単位体積重量と地下水位により決定される有効上載圧  $\sigma'_{vv}$ 、標準圧密試験から求まる先行圧密圧力  $\sigma'_{vv0}$ 、圧縮指数  $C_c$ 、膨潤指数  $C_s$  と塑性指数  $PI$  である。

①式では、解析対象地盤が過圧密状態である場合、不攪乱試料に対する  $q_u$  から求めた非排水強度 ( $q_u / 2 \sigma'_{vv0}$ )<sub>oc</sub>

をその粘土がかつて正規圧密状態であったときの非排水強度 ( $q_u/2 \sigma'_{vv} \text{NC}$ ) に変換している。①式中右辺の ( $q_u/2 \sigma'_{vv}$ )<sub>OC</sub> は不攪乱試料の  $q_u/2$  を先行圧密圧力  $\sigma'_{vv}$  で割ったものであるから、式(14)の ( $S_u/\sigma'_{vv}$ )<sub>OC</sub> に相当しており、標準圧密試験結果の  $\sigma'_{vv}$ ,  $C_c$ ,  $\bar{C}_s$  により過圧密比  $OCR (= \sigma'_{vv}/\sigma'_v)$  と非可逆比  $\bar{\Lambda} (= 1 - \bar{C}_s/C_c)$  を与えれば、その粘土がかつて  $K_0$  正規圧密されていたときの非排水強度 ( $q_u/2 \sigma'_{vv} \text{NC}$ ) が求まる。なお、対象地盤が正規圧密地盤の場合は、①式の変換を行う必要はない。①式(本文中の式(14)と同じ)は、本来  $K_0$  圧密された正規圧密粘土と過圧密粘土の軸対称三軸試験での非排水強度の関係を示したものであり、同じ関係が一軸圧縮強度に対しても成り立つ保証はない。一軸圧縮試験がもつ種々の問題点の物理的意味合いがつまびらかにされないと、これ以上の議論はできないのであるが、ここでは実務的な側面を重視して仮に①式が一軸圧縮強度に対してもほぼ成立すると仮定して議論を進めることにする。

②式では塑性指数の低い粘土の場合、 $q_u$  から求めた非排水強度は、 $CK_0UC$  試験における非排水強度よりも小さくなるため、その補正を行っている。Fig.(a) (図-3と同じ) から、 $PI$  に対する補正係数  $\mu$  を求め、( $q_u/2 \sigma'_{vv} \text{NC}$ ) に乗じることにより  $CK_0UC$  試験における

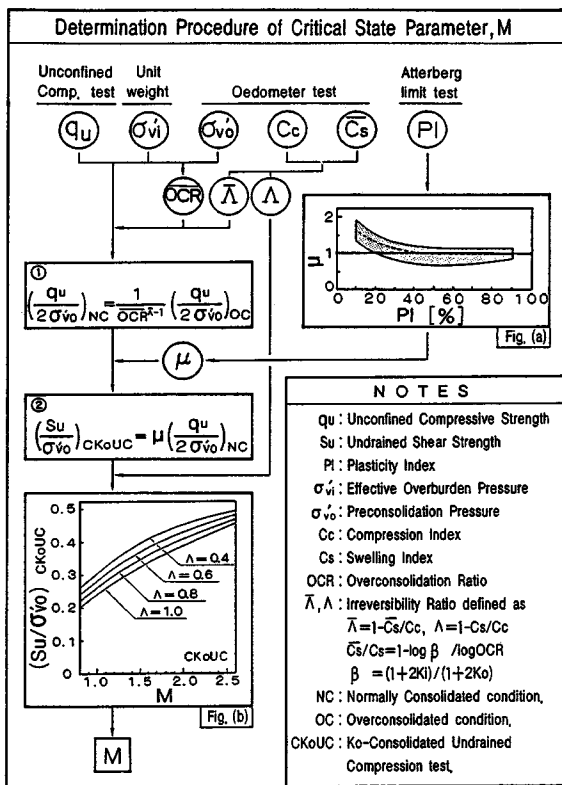


図-4 一軸圧縮強度を利用したせん断抵抗角  $M$  の推定手順

非排水強度 ( $S_u/\sigma'_{vv}$ )<sub>CK0UC</sub> を得る。

最後に、Fig. (b) (図-1と同じ) には、 $A=0.4 \sim 1.0$  に対する  $CK_0UC$  試験の非排水強度と  $M$  の関係が示されている。ここで、平均有効主応力で整理した非可逆比  $\Lambda (= 1 - C_s/C_c)$  は次のように求める。 $K_0$ -圧密(膨潤)において、有効上載圧で整理した  $\bar{C}_s$  と平均有効主応力で整理した  $C_s$  との間には式(15)の関係がある。

$$\frac{\bar{C}_s}{C_s} = 1 - \frac{\log \beta}{\log OCR}, \quad \beta = \frac{1+2K_t}{1+2K_0} \quad \dots \dots \dots (15)$$

ここで、 $K_0$ ,  $K_t$  はそれぞれ  $K_0$ -圧密終了時および膨潤時の静止土圧係数である。 $K_0$  は式(9),  $K_t$  は Alpan<sup>21)</sup>による次の式(16)を用いて推定できる。

$$K_t = K_0 (OCR)^{0.64} \exp(-PI/122) \dots \dots \dots (16)$$

$\bar{C}_s$ ,  $\bar{C}_s/C_s$ ,  $C_c$  から求まる  $\Lambda$  と②式で求めた ( $S_u/\sigma'_{vv}$ )<sub>CK0UC</sub> を用いて、Fig. (b) から  $M$  (Critical State Parameter) を推定する。

#### 4. 盛土基礎地盤の弾・粘塑性挙動解析

##### (1) 解析条件

解析の対象は、下総台地によくみられる洪積層の侵食谷部に堆積した沖積粘土層と、排水不良により生成された腐植土層からなる軟弱地盤上の試験盛土である。基礎地盤の土質層序と各層の性状を表-1に、また、各層の代表的な物性値を表-2に示す。試験盛土は、地盤改良などの事前処理を行わない軟弱地盤上で No.1~6 までの 6か所実施した。これら試験盛土のうち、土質条件が似ており、計測項目の多い No.1, 3, 6について解析を実施する。図-5に、基本的な盛土形状と、それぞれの盛土基礎地盤の各土層の層厚を示す。なお、No.1 盛土は、約 130 日の放置期間後 1 m の追加盛土を行っている。また、盛土基礎地盤の土質断面を図-6に示す。

試験盛土 No.1, 3, 6 の解析に必要な土質定数の深度分布を図-7に示す。1 m 以浅の表土層についても、現地においてサンプリングを実施し、室内試験を行うこと

表-1 盛土基礎地盤の土質層序および性状

Depth [m]	Strati-graphy	Classification	Soil Description
0.0 ↓ 0.5	X	Ts	Top Soil, Soft dark brown CLAY with grass roots and occasional sand
0.5 ↓ 2.5	YY YY Y YY Y Y	Apt (PI)	Compressible black HUMUS (organic soil) with grass roots and bits of wood chips occasional layers of sand, ALLUVIUM
2.5 ↓ 14.0	Y Y Y	Ac (CH~MH)	Soft dark gray silty CLAY with broken shells occasional pockets of sand becoming silty with depth, ALLUVIUM
14.0 ↓ 15.0	...	Asc (ML~MH)	Medium dark gray clayey SAND with sandy silt and silty sand, ALLUVIUM
15.0 ↓	...	Dc	Stiff CLAY, N-Values 5-50, Diluvial Deposit

によりデータを求めており、地盤は、上層部ほど過圧密比が大きく、腐植土層で  $OCR=4\sim 8$ 、粘土層で  $OCR=2\sim 5$  程度の過圧密状態である。

試験盛土 No.1 の解析モデルは図-8 のように設定し、試験盛土 No.3, 6 に対しても、類似のモデルを適用する。また、盛立て速度は実施工工程に合わせ、盛土荷重は単位体積重量  $18.6 \text{ [kN/m}^3]$  の要素自重として与える。

## (2) 入力パラメーターの決定

関口・太田による構成式を適用した弾・粘塑性解析に必要な入力パラメーターと、それを直接求めるための室内試験を表-3 に示す。Iizuka and Ohta<sup>1)</sup>が提案している  $PI$  を中心としたパラメーター決定法を基本に、一軸圧縮試験と標準圧密試験の結果を利用して新たに作成したパラメーター決定チャートが図-9 である。図中□印は入力パラメーターであり、○印は各種土質定数である。また、二重の枠で囲ってあるものは、標準圧密試験結果より得られる定数である。今回の解析に用いる入力パラメーターは、基本的に図-9 のチャートに従い決定する。

### a) 破壊に関するパラメーター $M$ の推定

表-2 盛土基礎地盤の主な物性値

Depth [m]	Layer	Unit Weight $\gamma_t$ [kN/m <sup>3</sup> ]	Natural Water Content $W_n$ [%]	Plasticity Index $PI$ [%]	Unconfined Compressive Strength $q_u$ [kN/m <sup>2</sup> ]	Pre-consolidation Pressure $\sigma'_{v0}$ [kN/m <sup>2</sup> ]	Compression Index $C_c$
0.0 ↓	Topsoil (Ts)	13.2	144 ↓	—	16.7 ↓	—	—
0.5 ↓			150		26.3		
0.5 ↓	Humus (Apt)	10.2	341 ↓	NP	6.86 ↓	10.8 ↓	1.90 ↓
2.5 ↓		11.2	798		27.1 ↓	29.4 ↓	9.50 ↓
2.5 ↓	Silty Clay	13.1	57	23	3.92 ↓	23.5 ↓	0.54 ↓
14.0 ↓		16.1	139	89	68.6 ↓	90.2 ↓	1.64 ↓
14.0 ↓	Clayey Sand	15.6	41	11	18.6 ↓	45.1 ↓	0.38 ↓
15.0 ↓	(Asc)	17.4	73	35	59.8 ↓	94.1 ↓	0.58 ↓

Dimensions of Embankments [m]		Thickness of each layer [m]		
Plan	Section	Embankment		
		No1	No3	No6
Ts		0.5	0.6	0.5
Apt		2.0	1.7	1.2
Ac		11.5	7.7	5.2
Asc		1.0	1.0	0.8

図-5 盛土形状および各盛土基礎地盤の層厚

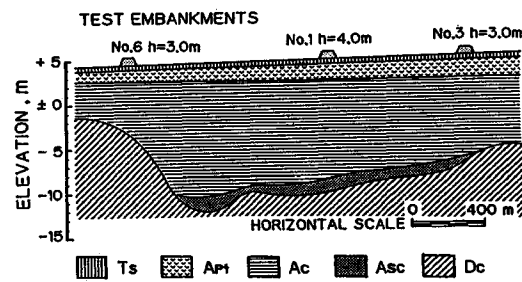


図-6 基礎地盤の土質断面図

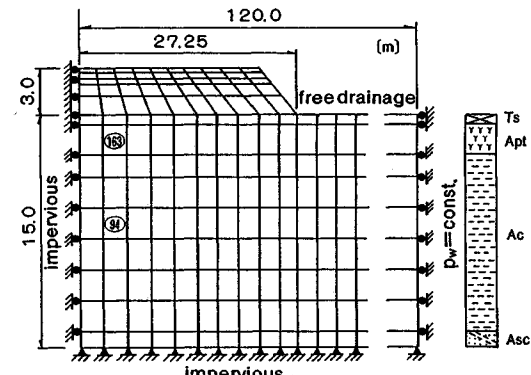


図-8 試験盛土 No.1 の有限要素モデル

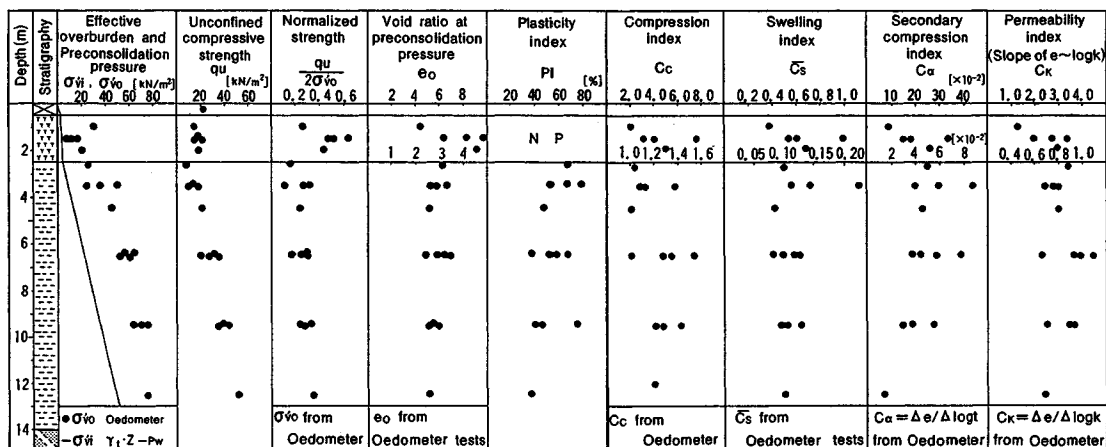


図-7 各物性値の深度分布

図-9中、 $q_u$ から $M$ を推定する手順は3. および図-4で詳細に述べている。粘土層について、図-4の決定チャートに必要な土質定数の深度分布は図-7から得られる。このチャートに従い $M$ を推定すると、 $M$ は深部ほど大きくなり、 $M=1.0\sim1.6$ 程度となる。同様に、粘土層下部の粘土質砂層の $M$ を求める。実測値から $q_u/2\sigma'_{vo}=0.29$ 、 $A=0.89$ 、 $PI=35\%$ 、 $OCR$ は2程度である。 $(q_u/2\sigma'_{vo})$ を①式により、正規圧密状態であったときの強度に変換すると、 $(q_u/2\sigma'_{vo})_{NC}=0.31$ となる。 $PI$ に対する補正係数 $\mu$ を、Fig.(a)の平均値を採用し、 $\mu=1.1$ とすると、②式により、 $(S_u/\sigma'_{vo})_{CKoUC}=0.34$ となる。この値と計算値 $A=0.86$ を用いて、Fig.(b)より $M=1.58$ を得る。粘土層上部の腐植土層は、自然含水比が $w=341\sim798\%$ と非常に大きいうえに、塑性指数が測定不能であり、 $M$ の推定が非常に難しい土層である。実測値から腐植土の $q_u/2\sigma'_{vo}$ の平均値は0.45、 $A$ の平均値は0.85である。 $OCR$ が4~8程度と大きいため、①式の変換を行うと $(q_u/2\sigma'_{vo})_{NC}$ がFig.(b)の範囲より大きくなり、 $M$ は2.6を越えてしまう。仮に、腐植土層が正規状態にあり、Fig.(b)の補正係数 $\mu$ が腐植土層に対しては1.0であると仮定すると、Fig.(b)から $M$ は約2.5となる。山口・森・大平・小暮<sup>22)</sup>や及川・宮川<sup>23)</sup>によれば泥炭の強度パラメーター値は、粘土に比べて非常に大きく、粘土の場合 $\phi'=30^\circ$ ( $M=1.2$ )程度であるのに対して、泥炭では、等方圧密状態で $\phi'=50^\circ$ ( $M=2.06$ )以上、 $K_0$ 圧密状態では $\phi'=60^\circ$ ( $M=2.43$ )以上にも達すると報告している。正規圧密された泥炭が過圧密になっても、一軸圧縮試験によって求められたせん断強度があまり小さくならないかどうか、著者らは具体的なデータを持ち合わせていないが、通常、泥炭の $M$ (または $\phi'$ )は、粘土に比べてかなり大きいことがわかっているので、ここでは、腐植土層の $M$ を上述の計算から求められたとおり $M=2.5$ とすることにする。粘土に関して一般的に当てはまる議論が、泥炭に対しては必ずしも当てはまらないことが多く、パラメーター推定に関しても問題が多いが、今後の研究に待つ以外、今のところ決め手がないのが実情である。

### b) 透水係数 $k$ とその変化率 $\lambda_k$

標準圧密試験から得られる各層の $C_v$ -log $\sigma_v$ ,  $m_v$ -log $\sigma_v$ 関係から、先行荷重に対する $C_v$ ,  $m_v$ を求め、 $k=C_v \cdot m_v \cdot \gamma_w$ (ここで $\gamma_w$ は水の単位体積重量)として透水係数を求める。透水試験から直接求めた鉛直方向透水係数は、圧密試験から求めた鉛直方向透水係数の1~10倍大きいことが、Mesri and Tavenas<sup>24)</sup>により指摘されている。弾・粘塑性構成式を用いて、応力-変形-圧密連成解析を多くの現場に適用してみた著者らの経験からも、圧密試験から得られた透水係数を10倍程度にし

表-3 入力パラメーターとその試験方法<sup>1)</sup>

	analysis parameter	main laboratory test	remarks
$\Lambda$	irreversibility ratio	triaxial consolidation test	$\Lambda = 1 - \frac{\sigma'_v}{\sigma'_v}$
$M$	critical state parameter	triaxial CU test	$M = \frac{6 \sin \phi'}{3 + \sin \phi'}$
$D$	coefficient of dilatancy	triaxial CD( $p=\text{const.}$ ) test	$D = \frac{\Delta V}{M(1-\Lambda)}$
$\nu'$	effective poisson ratio	triaxial CU test	$G$
$\alpha$	coefficient of secondary compression	triaxial consolidation test	$\alpha = \frac{d\nu'}{dt}(\ln t)$
$\dot{\nu}_0$	initial volumetric strain rate	triaxial consolidation test	$\dot{\nu}_0 = \frac{\alpha}{t_c}$
$\sigma'_{vo}$	preconsolidation vertical pressure	oedometer test	
$K_0$	coefficient of earth pressure at rest	triaxial $K_0$ -consolidation test	
$\sigma'_{vi}$	effective overburden pressure	unit weight test	$\sigma'_{vi} = \gamma' z$
$K_i$	coefficient of in-situ earth pressure at rest	triaxial $K_0$ -swelling test	
$k$	coefficient of permeability	permeability test	$k = \gamma_w \nu_v c_v$

$$\text{stress parameter } \pi^2 = \frac{1}{2} (\eta_{ij} - \eta_{pj})(\eta_{ij} - \eta_{pj}), \eta_{ij} = \sigma_{ij}/p, S_{ij} = \sigma_{ij} - p\delta_{ij}, p = \sigma'_{vi}/3$$

1)  $\lambda = 0.434 C_c$ ,  $\Lambda = 0.434 C_s$

2)  $G$ : elastic shear modulus

3)  $t_c$ : time at the end of primary consolidation

4)  $z$ : depth from ground surface

5)  $\sigma'_{ij}$ : effective stress tensor

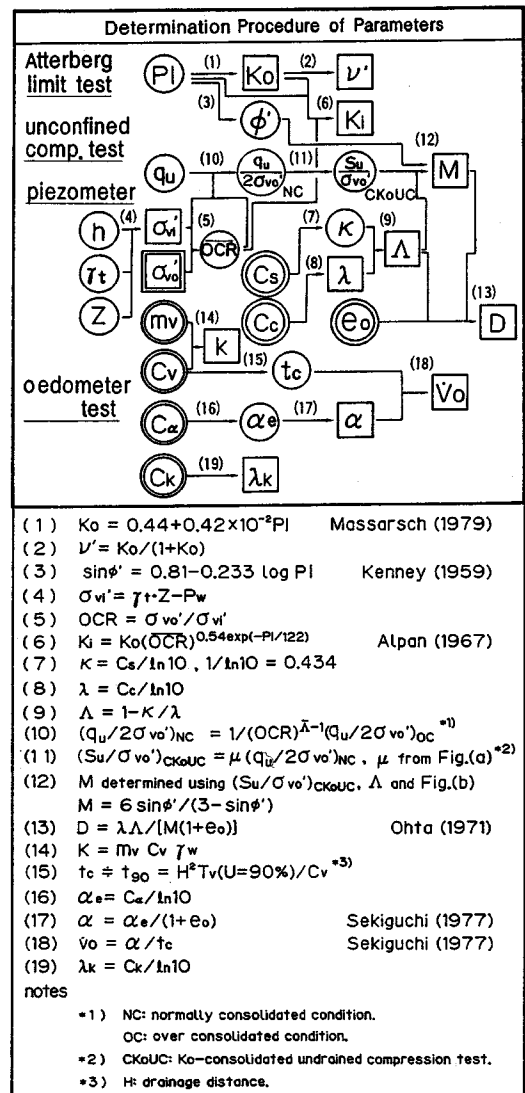


図-9 入力パラメーターの決定チャート

て解析すると、実測値と解析値がよく合うことがわかっている。また、水平方向透水係数が、鉛直方向透水係数よりかなり大きいことも従来から指摘されているので、これらのことから、圧密試験から求めた透水係数を10倍した値を解析に用いる。

標準圧密試験結果を整理すると、間隙比 ( $e$ ) と透水係数の常用対数 ( $\log k$ ) の関係は図-10のようになる。この勾配が透水係数の変化率  $C_k (= \Delta e / \Delta \log k)$  である。なお、 $\lambda_k$  は自然対数で整理したときの変化率 ( $\lambda_k = \Delta e / \Delta \ln k$ ) であり、 $C_k$  との間に  $\lambda_k = C_k / \ln 10$  なる関係がある。各試料の  $C_k$  と  $C_c$  の関係を図-11に示す。従来からいわれているように  $C_c = C_k$  とはならず、 $C_k$  は  $C_c$  より 30% 程度小さい。

c) 粘性に関するパラメーター  $\alpha$ ,  $v_0$

関口・太田が提案したモデルにおける二次圧密係数  $\alpha$  は、 $\alpha = dv/d(\ln t)$  ( $v$  : 体積ひずみ、 $t$  : 二次圧密経過時間) として定義される。本解析では、標準圧密試験の  $e$ -log  $t$  関係における直線部分の勾配として  $C_\alpha (= \Delta e / \Delta \log t)$  を決定し、図-9 中、式(16), (17) を用いて  $\alpha$  を求める。Iizuka and Ohta<sup>11</sup>が提案する決定チャートでは、Mesri and Godlewski<sup>25</sup>が示す次の関係式を用いている。

$$\left. \begin{array}{l} C_a/C_c = 0.05 \pm 0.02 \\ C_a/C_c = 0.07 \pm 0.02 \end{array} \right\} \begin{array}{l} \text{(for clay)} \\ \text{(for peat)} \end{array} \quad \dots\dots(17)$$

図-12は標準圧密試験から求めた $C_c$ と $C_a$ の関係を表わしたものであり、図中の直線はMesriらが示した $C_c \sim C_a$ の範囲である。粘土層の $C_a$ はMesriらが与えた範囲内であるが、腐植土層の $C_a$ は泥炭に対する下限値付近となっている。なお、Mesriらの推定式により決定した $\alpha$ を用いた場合についても解析したが、沈下、その他の解析値に大きな差は生じなかった。したがって、二次圧密部分のデータが入手できない場合には、Mesriらが与えた $C_a/C_c$ の値を用いて $C_a$ を推定しても大きな問題は生じないものと思われる。

初期体積ひずみ速度  $\dot{v}_0$  は、 $\dot{v}_0 = a/t_c$  ( $t_c$  は一次圧密終了時間) として定義される。 $t_c$  は沈下の実測データおよび層厚換算法と、図-9 中式 (15) から求められる。

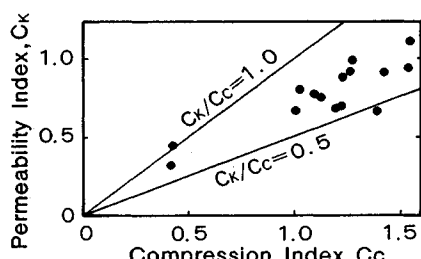


図-11 圧縮指数と透水係数の変化率の関係

各層の 90% 圧密に要する時間  $t_{90}$  を参考に求めた。試験盛土 No.1 では、腐植土層で  $t_c=100$  日、粘土層および粘土質砂層で  $t_c=200$  日としている。なお、すでに述べたとおり、過去の経験から標準圧密試験から得た  $C_v$  を 10 倍にして用いている。

d) 弹性材料(盛土, 表土層)の入力パラメーター  
 解析では, 盛土と表土層を線形弾性体として扱っており, 必要なパラメーターは, 弾性係数  $E$ , 有効ポアソン比  $\nu'$ , 有効上載圧  $\sigma'_{vt}$ , 静止土圧係数  $K_t$ , 透水係数  $k$ , 初期間隙比  $e_i$  である.

## ① 表土層

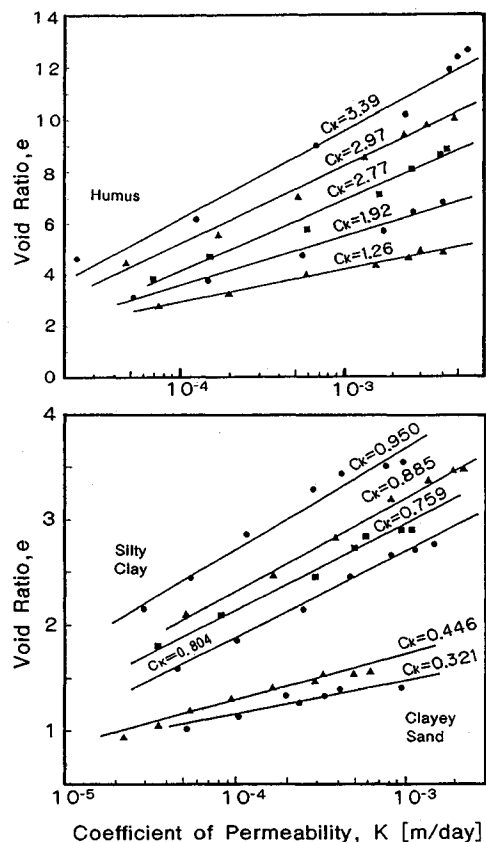


図-10 各層の  $e$ ～ $\log k$  の関係

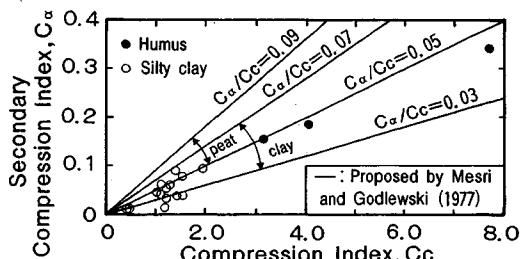


図-12 圧縮指數と二次圧密係数の関係

表土層は粘土を主体とした耕作土である。この層については、事前の土質調査が実施されていないので、現地においてサンプリングを行い、室内実験を実施した。一軸圧縮試験結果、透水試験、物理試験結果から  $E = E_{50} = 490 \text{ [kN/m}^2]$ ,  $k = 8.64 \times 10^{-4} \text{ [m/day]}$ ,  $e_i = 3.52$  となる。静止土圧係数、ボアソン比はそれぞれ、 $K_0 = 0.6$ ,  $\nu' = 0.33$  と仮定する。

## ② 盛土材

盛土材は、岩屑が用いられたが、その物性に関しては不明である。パラメーターは、他の締固め材料の物性値を参考にして、 $E = 9800 \text{ [kN/m}^2]$ ,  $\nu' = 0.33$ ,  $\sigma'_{v0} = 9.8 \text{ [kN/m}^2]$ ,  $K_t = 0.5$ ,  $k = 10 \times 10^{-4} \text{ [m/day]}$ ,  $e_i = 0.5$  と仮定した。

## (3) 解析結果

図-9に従って決定した入力パラメーターによる、試験盛土 No. 1, 3, 6 の弾・粘塑性有限要素解析結果および実測値との比較を図-13 および図-14 に示す。

図-13 は、試験盛土 No. 1 の盛土中央部における地表面沈下量と腐植土層および粘土層の圧縮量、のり尻部地表の水平変位量、腐植土層（要素番号 163）および粘土層（要素番号 94）の過剰間隙水圧について、解析結果と実測値の経時変化を盛立て工程とともに示したものである。図中、解析結果を実線、実測値を●印で示す。なお、のり尻部地表面の水平変位は盛土外側方向への変位を正とする。要素番号については、図-8 を参照。

図-14 は、試験盛土 No. 3 と No. 6 の解析結果と実測値の経時変化を同時に示したものである。図の内容は試験盛土 No. 1 の場合と同様であり、試験盛土 No. 3 の解析結果を実線、実測値を●印、No. 6 の解析結果を破線、実測値を○印で表わしている。

### a) 沈下量および各層の圧縮量

図-13, 14 より、盛土中央部地表面沈下量の経時変化は、どの試験盛土の場合も実測値と解析結果は比較的よい対応を示している。次に、各土層の圧縮量の経時変化について実測値と解析結果を比較すると、腐植土層はすべての盛土でよく一致している。粘土層では、腐植土層に比べ層厚が大きいために、実測値と解析値に若干の差異が認められる。

### b) のり尻部地表面の水平変位量

盛土のり尻部地表面の水平変位量の経時変化は、試験盛土 No. 1 については、実測値と解析結果はよい一致をみているが、No. 3, No. 6 については、解析結果は実測値を 1.4 倍程度過大に評価している。これは、のり尻の側方変位に影響を及ぼすと考えられる盛土の弾性係数、表土層、腐植土層の静止土圧係数やボアソン比の評価に問題があるのであろう。

### c) 盛土中央下の過剰間隙水圧

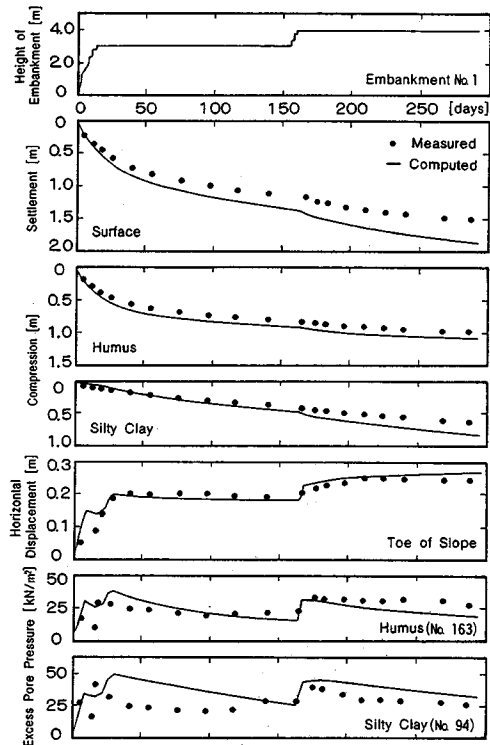


図-13 試験盛土 No. 1 の実測値と解析結果

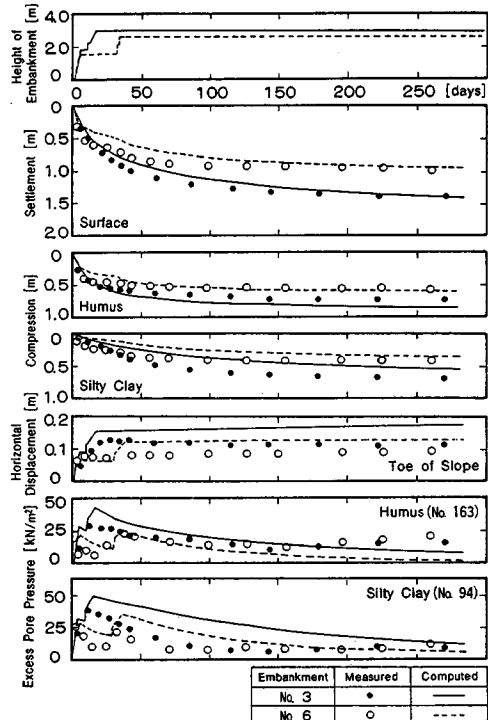


図-14 試験盛土 No. 3, 6 の実測値と解析結果

盛土中央下における腐植土層内（要素 No. 163）の過剰間隙水圧は、試験盛土 No. 6 の消散が計算上早くなっている点を除き、解析結果は実測値の傾向をよく説明している。次に、粘土層内（要素 No. 94）の過剰間隙水圧の経時変化は、どの盛土の場合も盛立て終了後は解析結果が実測値より过大である。しかし、放置期間前半部の解析結果は実測値よりも消散が遅れているものの、最終的にはよい対応をみせている。これは、解析では、圧密試験において先行圧密応力を載荷したときの透水係数（降伏時の  $m$ ,  $v$ ,  $C_v$  により決定）を採用しているので、過圧密状態にある原地盤の特性を完全に表現できなかつたものと考えられる。

#### (4) PI と $M$ , $\Lambda$ の関係を利用した解析との比較

(3) では、図-9 に示す入力パラメーター決定法を用いた、弾・粘塑性有限要素解析の適用性を検討した。ここでは、粘土層の入力パラメーター  $M$  と  $\Lambda$  を今回提案する決定法により推定した場合と、 $PI$  により推定した場合について比較してみる。Iizuka and Ohta<sup>1)</sup>の提案するパラメーター決定法において、 $M$  および  $\Lambda$  は、式(7), (10), (11) により  $PI$  から推定される。この  $M$ ,  $\Lambda$  を  $M_{PI}$ ,  $\Lambda_{PI}$  とすると、粘土層では  $M_{PI}=0.8 \sim 1.0$ ,  $\Lambda_{PI}=0.5 \sim 0.6$  となる。一方、本論文では  $M$ ,  $\Lambda$  を、 $q_u$  と標準圧密試験結果から求めており、これを  $M_{qu}$ ,  $\Lambda_{oed}$  とする。これらの値は(2)で求められており、 $M_{qu}=1.0 \sim 1.6$ ,  $\Lambda_{oed}=0.85 \sim 0.92$  である。図-15 に  $PI$ ,  $OCR$ ,  $\Lambda_{PI}/\Lambda_{oed}$ ,  $M_{PI}/M_{qu}$  の深度分布を示す。図-15 によると、 $\Lambda$  は上層部、 $M$  は下層部ほど推定方法の違いによる差が著しい。推定方法の違いによってこのような差が生じる原因はまだ明確ではない。その原因の一つとして、 $\Lambda_{PI}$  と  $\Lambda_{oed}$  の比が、過圧密の度合いの小さい深部では 1.0 に近づいていることから、 $OCR$  が関係するのではないかと推測されるが、今後の研究課題としたい。

次に、他の解析条件は全く同一とし、粘土層の  $M$  と  $\Lambda$  をそれぞれの方法により推定した場合について、試験盛土 No. 1, 3, 6 を対象に同様の解析を行った。 $M_{qu}$ ,  $\Lambda_{oed}$  による解析をケース 1,  $M_{PI}$ ,  $\Lambda_{PI}$  による解析をケース 2 とする。

図-16 は、各盛土における粘土層の圧縮量の経時変化について、ケース 1 を実線、ケース 2 を破線、実測値を・印で示したものである。試験盛土 No. 1 では、ケース 2 の解析結果は、ケース 1 より圧縮量を过大に評価している。No. 3, No. 6 においては、長期における圧縮量ではケース 1 の解析結果の方がよく一致しているが、盛立て後 100 日程度までは、逆にケース 2 の方が実測値をうまく説明している。

## 5. 結 論

本論文では、関口・太田による弾塑性構成式から導かれる非排水せん断強度と、通常、現場において実施される一軸圧縮試験結果とを関連づけることにより、破壊に関するパラメーター  $M$  を推定する方法を提案した。さらに、この方法と標準圧密試験結果および塑性指数を有効に利用したパラメーター決定チャートを作成した。

この決定手順に基づいて、実際の軟弱基礎地盤における試験盛土工の挙動解析を実施したところ、以下の結論を得た。

(1) 解析結果は、軟弱地盤の挙動を、比較的精度よく表現することができた。

(2) 粘土層の入力パラメーター  $M$ ,  $\Lambda$  を  $PI$  により推定し、解析を行ったところ、今回対象とした過圧密地盤では、実測値に比べ最終沈下量を过大に評価する傾向がみられた。

(3) 弾・粘塑性解析における入力パラメーターの決定に一軸圧縮強度  $q_u$  を用いる方法が有効であることが確認された。

最後に、本研究を実施するにあたり、京都大学飯塚敦氏にご協力いただき、一部に、文部省科学研究費（試験研究(2) 62850092）の補助を受けたことを付記して謝意を表します。

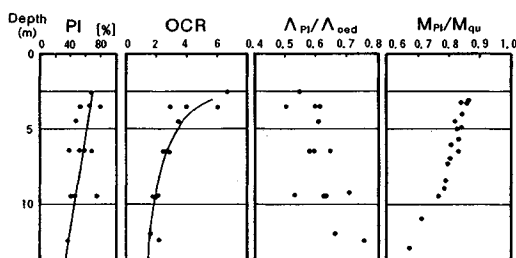


図-15 決定方法の違いによるパラメーターの比較

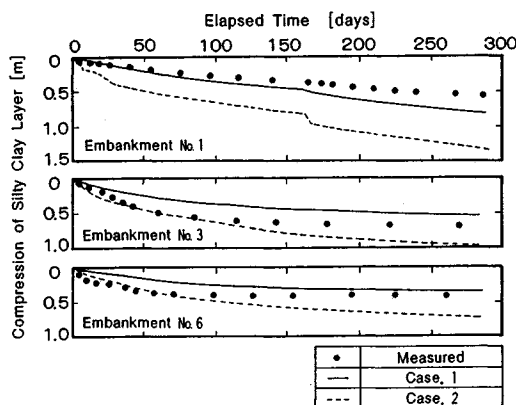


図-16 粘土層の圧縮量の経時変化

## 参考文献

- 1) Iizuka, A. and Ohta, H. : A determination procedure of input parameters in elasto-viscoplastic finite element analysis, *Soils and Foundations*, Vol. 27, No. 3, pp. 71~87, 1987.
- 2) Kimura, T. and Saitoh, K. : The influence of disturbance due to sample preparation on the undrained strength of saturated cohesive soil, *Soils and Foundations*, Vol. 22, No. 4, pp. 109~120, 1982.
- 3) 西垣好彦・三笠正人：一軸圧縮試験、土質調査試験結果の解釈と適用例 第一回改訂版、土質工学会、pp. 175~213, 1979.
- 4) 太田秀樹：室内・原位置試験結果の安定解析への適用、土の強さと地盤の破壊入門、土質工学会、pp. 235~261, 1987.
- 5) Sekiguchi, H. and Ohta, H. : Induced anisotropy and time dependency in clays, 9th ICSMFE, Tokyo, Proc. Specialty session 9, pp. 229~238, 1977.
- 6) 太田秀樹・飯塚 敏：DACSAR マニュアル、京都大学工学部土木工学科土木施工学研究室レポート、1983.
- 7) Biot, M. A. : General theory of three-dimensional Consolidation, *Journ. Appl. Phys.*, Vol. 12, pp. 155~164, 1941.
- 8) Ohta, H. and Sekiguchi, H. : Constitutive equations considering anisotropy and stress reorientation in clay, Proc. 3rd Int. Conf. Numerical Method in Geomechanics, pp. 475~484, 1979.
- 9) 赤井浩一・田村 武：弾塑性構成式による多次元圧密の数値解析、土木学会論文報告集、第 269 号、pp. 95~104, 1978.
- 10) 柴田 徹：粘土のダイラタンシーについて、京都大学防災研究所年報、第 6 号、pp. 128~134, 1963.
- 11) Ohta, H. and Nishihara, A. : Anisotropy of undrained shear strength of clays under axi-symmetric loading conditions, *Soils and Foundations*, Vol. 25, No. 2, pp. 73~86, 1985.
- 12) Jáky, J. : Tarajmechanika, J. Hungarian Arch. & Engs., Budapest, pp. 355~358, 1944.
- 13) 軽部大蔵：規格以外の三軸圧縮試験方法とその問題点、
- 14) 中瀬明男・勝野 克・小林正樹：砂分の多い粘性土の一軸圧縮強さ、港湾技術研究所報告、第 11 卷、第 4 号、pp. 83~102, 1972.
- 15) 正垣孝晴・松尾 稔・野村真一・小林秀一：中間土の一軸および三軸UU 試験の比較、第 22 回土質工学研究発表会講演集、pp. 441~442, 1987.
- 16) 龍岡文夫：土質試験の課題と試験結果の評価、最近の土質基礎に関する講習会講演資料、土質工学会、pp. 21~70, 1985.
- 17) Massarsch, K. R. : Lateral earth pressure in normally consolidated clay, *Design Parameters in Geotechnical Engineering*, 7th Eur. Conf. Soil Mechanics and Foundation Engineering, Vol. 2, pp. 245~249, 1979.
- 18) Kenney, T. C. : Discussion on "Geotechnical properties of glacial lake clays", Proc. ASCE, Vol. 85, SM 3, pp. 67~79, 1959.
- 19) Mitachi, T. and Kitago, S. : Change in undrained shear strength characteristics of saturated remolded clay due to swelling, *Soils and Foundations*, Vol. 16, No. 1, pp. 45~58, 1976.
- 20) 中瀬明男・小林正樹・勝野 克：圧密および膨張による飽和粘土のせん断強度の変化、港湾技術研究所報告、第 8 卷、第 4 号、pp. 103~143, 1969.
- 21) Alpan, I. : The empirical evaluation of the coefficient  $K_0$  and  $K_{ox}$ , *Soils and Foundations*, Vol. 7, No. 1, pp. 31~40, 1967.
- 22) 山口晴幸・森 茂・大平至徳・木暮敬二：不攪乱泥炭の異方的せん断特性、土木学会論文報告集、第 364 号／Ⅲ-4, pp. 189~198, 1985.
- 23) 及川 洋・宮川 勇：乱さない泥炭の非排水せん断特性について、土質工学会論文報告集、Vol. 20, No. 3, pp. 91~100, 1980.
- 24) Mesri, G. and Tavenas, F. : Discussion, Proc. ASCE, Vol. 109, No. 6, pp. 873~878, 1983.
- 25) Mesri, G. and Godlewski, P. M. : Time-and stress-compressibility interrelationship, Proc. ASCE, Vol. 103, GT 5, pp. 417~430, 1977.

(1987.10.29・受付)